

بررسی پایداری لرزمای قوس‌های آجری ایرانی

مجید پورامینیان^۱، ارزنگ صادقی^{*۲} و سمية پوربخشیان^۱

^۱ عضو هیئت علمی دانشگاه آزاد اسلامی، واحد رامسر

^۲ استادیار، دانشکده فنی، گروه مهندسی عمران، دانشگاه شهید مدنی آذربایجان

چکیده

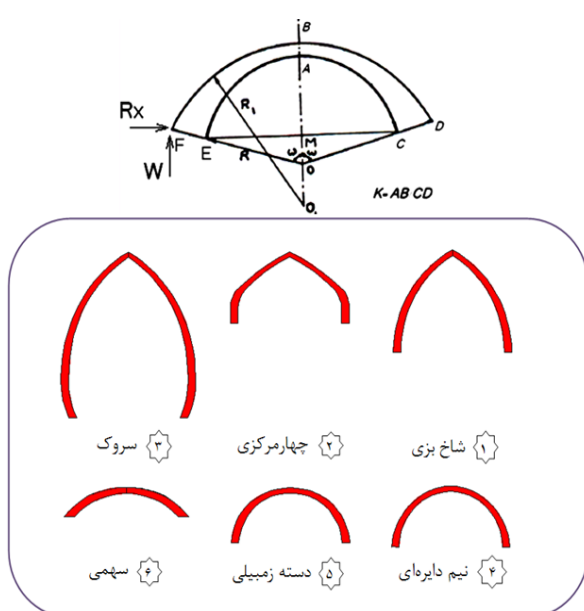
سابقه استفاده از فرم سازه‌ای قوس در ایران به هزاران سال می‌رسد. قوس از اجزای بنیادین در معماری ایران است. دیگر سیستم‌های سازه‌ای نظری طاق و گنبد از قوس‌ها بدت آمده است. قوس‌ها، طاق‌ها و گنبدی‌های مصالح بنایی توجه و حیرت بسیاری از محققان را در طول قرن‌ها برانگیخته و امروزه مطالعات ویژه‌ای در این زمینه در حال انجام است. این فرم‌ها در بنای‌های تاریخی و خطوط ریلی و جاده‌ای بسیاری از کشورهای دنیا قابل مشاهده است. در این تحقیق، پایداری انواع قوس‌های ایرانی تحت وزن، سریار و زلزله ارزیابی شده است. پرکاربردترین قوس‌های ایرانی پس از مدل‌سازی هندسی در نرم‌افزار AutoCAD، برای مدل‌سازی اجزای محدود به محیط نرم‌افزار ANSYS انتقال یافت. تحلیل استاتیکی، ارتعاش آزاد و دینامیکی خطی و غیرخطی بر روی مدل اجزای محدود انجام شده است. برای تحلیل دینامیکی از ۳ شتاب نگاشت تکان قوی استفاده شده است. پس از مقایسه نتایج تحلیل‌های گفته شده، مشخص شده است که قوس‌های سهمی باربری مناسبی نسبت به دیگر قوس‌ها دارند همچنین زمان و نحوه فروپاشی قوس‌ها و محل ترک‌های اولیه بدت آمده است.

واژگان کلیدی: پایداری لرزمای، قوس‌های ایرانی، تحلیل دینامیکی، رفتار غیرخطی مصالح، ANSYS

۱- مقدمه

پاطاق به صورت خطی در نظر گرفته شده است. قوس‌های بررسی شده در تحقیق شامل دایره‌ای، دسته زنبیلی، سهمی، چهار مرکزی، شاخ بزی (نیم بیضوی) و سروک است. مشخصات هندسی، ارتفاع و وزن قوس‌های نامبرده در جدول (۱) ارائه شده است.

قدیمی‌ترین چند و قوس موجود ایران، مربوط به حدود ۲۰۰۰ سال قبل از میلاد است که در چغازنبیل بکار برده شده است. می‌توان گفت: "قوس‌ها خطوطی منحنی هستند که عموماً دهانه آن‌ها بزرگ‌تر از خیز آن‌ها است" [۱]. به طور کلی آن‌ها را می‌توان به سه دسته کلی طبقه‌بندی نمود [۱]: قوس‌های مدور و مشابه آن، قوس‌های تیز (شاخ بزی) و قوس‌های تزیینی. تحقیقات زیادی در رابطه با پاسخ دینامیکی قوس‌های بنایی در سراسر دنیا صورت گرفته است.



شکل ۱- شکل قوس‌های به کار رفته در تحقیق

Sinopoli در سال ۲۰۱۰ با استفاده از روش نیمه تحلیلی دینامیکی گام زمانی و Ochsendrof و DeJong در همین سال رفتار لرزمای درون صفحه قوس سه بلوکی را بررسی نمودند همچنین تأثیر نوفه‌های تصادفی شتاب نگاشت در پاسخ دینامیکی قوس‌ها مورد بررسی قرار گرفته است [۲]. کیومرثی و همکاران در سال ۲۰۰۹ روی شکل بهینه قوس‌های آجری مصالح بنایی تحت بارگذاری دینامیکی تحقیقاتی انجام داده‌اند [۳]. مطابق شکل (۱) قسمت AB به تیزه یا کلید طاق موسوم است. پایین‌ترین قسمت طاق یعنی EF و CD موسوم به پاطاق است و نسبت پاطاق به تیزه حداقل یک است. اختلاف ارتفاع بین تیزه و پاطاق، خیز طاق و دهانه قوس است. در این تحقیق، دهانه بکار رفته در تمامی قوس‌ها ۸ متر، $CD = 60\text{ cm}$ و $AB = 40\text{ cm}$ در نظر گرفته شده است. افزایش ضخامت از کلید طاق تا

جدول -۲- معیارهای بکار رفته در مدلسازی اجزای محدود [۵,۶]

| مشخصات فیزیکی مصالح بنایی | ضرایب استفاده شده در معیار گسیختگی ویلام وارنکه | ضرایب استفاده شده در معیار در میعاد دراگر پراغر چسبندگی |
|-----------------------------------|---|---|
| $E=7 \times 10^9 \text{ Pa}$ | $\beta_t = 0.1$ | $C=100000 \text{ Pa}$ |
| $f_t=2 \times 10^5 \text{ Pa}$ | $\beta_c = 0.9$ | $\varphi = 20^\circ$ زاویه اصطکاک داخلی |
| $\rho=1850 \text{ kg/m}^3$ | $\sigma = 0.2 \text{ Mpa}$ مقاومت کششی مجاز مصالح | $\eta = 15^\circ$ زاویه انبساط حجمی |
| $\nu = 0.2$ $\epsilon = 0.002$ | $\sigma = 2.5 \text{ Mpa}$ مقاومت فشاری مجاز مصالح | --- |

تفییر شکل قوس‌ها، جز در قوس سروک، در حد مقادیر مجاز است (کرنش مجاز مصالح بنایی، $\epsilon = 0.002$) در نظر گرفته شده است). برای قوس سروک مقادیر تنشن‌ها فراتر از تنشن‌های مجاز مصالح می‌باشد، لذا این نوع قوس با ضخامت فرض شده، برای سربار مقاومت ندارد و بالتبغ در برابر بارگذاری لرزه‌ای نیز ناپایدار است.

در ۵ قوس دیگر مقاومت فشاری موجود کمتر از مقادیر مجاز است ولی تنشن کششی قوس دایره‌ای و چهار مرکزی بیشتر از مقادیر مجاز آن است، لذا در مناطقی با تنشن کششی فراتر از مقادیر مجاز، ترک خوردنگی مصالح اتفاق خواهد افتاد. برای قوس سه‌می و شاخ بزی تمامی نتایج خیز ماکزیمم، تنشن کششی و فشاری ماکزیمم مقادیر نسبتاً پایینی دارند و احتمال ترک خوردنگی و پکیدگی کم است، بنابراین قوس شاخ بزی و سه‌می باربری ثقلی مناسبی دارند و چهار مرکزی و سروک نامناسب هستند. انتقال نیرو در کلیه مقطع قوس سه‌می، بوبیه در پاطاق، عمدتاً بصورت فشاری می‌باشد و تنشن‌های کششی قابل اغماس می‌باشند. با توجه به جدول (۳)، می‌توان پایداری قوس‌ها را تحت بارگذاری ثقلی از زیاد به کم به ترتیب زیر بیان نمود: قوس شاخ بزی، سه‌می، دسته زنبیلی، دایره‌ای، چهار مرکزی و سروک.

به طور کلی تحت بارهای ثقلی، افزایش خیز قوس موجب افزایش مؤلفه قائم نیروی پاطاق و کاهش نیروی رانش افقی می‌شود که مقادیر این نیروها در در جدول (۴) ارائه شده‌اند. از مقدار F نشان داده شده در جدول (۴) می‌توان مقدار و زاویه برآیند نیروهای وارده به هر پای طاق را بدست آورد. تفسیر مقدار F برای قوس سه‌می ($F=1.04$) نشان دهنده این مطلب است که زاویه نیروی برآیند پاطاق (در تحقیق حاضر زاویه پاطاق با محور افق برابر ۴۶ درجه)، موازی خط مماس بر قوس در پاطاق است که باعث می‌شود تنشن‌های کششی و فشاری در این ناحیه بحرانی به صورت یکنواخت باشد و ظرفیت باربری مقاطع به طور بهینه استفاده می‌شود.

جدول -۱- مشخصات قوس‌های بکار رفته در تحقیق

| نوع قوس | خیز (متر) | نسبت خیز به دهانه AM/EC | وزن (KN) | شعاع‌های داخلی قوس (m) | مشخصات بنایی |
|--------------|-----------|-------------------------|----------|------------------------|--------------------------------|
| شاخ بزی | ۶/۹۰ | ۰/۸۶ | ۶۱/۵۸ | $R_1=8$ | $E=7 \times 10^9 \text{ Pa}$ |
| چهار مرکزی | ۳/۷ | ۰/۴۶ | ۴۵/۷۰ | $R_1=2, R_2=10.40$ | $f_t=2 \times 10^5 \text{ Pa}$ |
| سروک | ۱۱/۹۰ | ۱/۴۹ | ۹۶/۳۹ | $R_1=5077, R_2=9.55$ | $\rho=1850 \text{ kg/m}^3$ |
| نمی‌دایره‌ای | ۴ | ۰/۰۵ | ۴۲/۰۷ | $R_1=4$ | $\nu=0.2$ |
| دسته زنبیلی | ۳/۵۰ | ۰/۴۳ | ۴۳/۹۰ | $R_1=3.78, R_2=4$ | $\epsilon=0.002$ |
| سه‌می | ۲/۰۶ | ۰/۲۶ | ۳۷/۱۶ | $R_1=5.70$ | |

۲- تحلیل استاتیکی تحت وزن قوس و سربار

معمولأً یک بنای آجری در ابتدا تحت وزن خود و سپس در حالت تغییر شکل یافته تحت نیروهای دیگر تحلیل می‌شود تا توزیع مجدد و پیچیده تنشن‌ها که ناشی از ساخت بنا و در نتیجه شکل‌گیری ترک است، در نظر گرفته شود. با اعمال کنش‌های بیشتر (باد، زمین لرزه، ...) بر روی سازه نهایی، امکان ارزیابی حاشیه واقعی اینمی به وجود می‌آید که بسیار متفاوت از موردی است که با اعمال همان کنش‌ها بر روی هندسه اولیه بدست می‌آید. در این مقاله مدل اجزای محدود قوس‌ها با استفاده از المان ۸ گرهی Solid 45 ایجاد شده و قوس در پاطاق به صورت گیردار مدل شده است. برای المان‌ها رفتار الاستیک خطی در نظر گرفته شده است. محیط مصالح بنایی در این مدل ایزوتروپ همگن در نظر گرفته شده و پارامترهای مذکور در ستون سمت چپ جدول (۲) آورده شده‌اند. اغلب قوس‌ها به عنوان المان‌های باربر در سازه بکار می‌روند و باید علاوه بر وزنش، سربار وارد را نیز تحمل نماید. در حقیقت قوس‌ها نقش شاهیر را در سازه‌های امروزی ایفا می‌نمایند. سهم قوس از سربار ثقلی وارد به قوس ۶۰ کیلو نیوتن در نظر گرفته شده است. این مقدار با فرض این که عرض بارگیری قوس، ۶ الی ۱۰ برابر عرض قوس باشد، بدست آمده است و کمی دست پایین انتخاب شده است. علت این است که برخلاف سازه‌های مدرن، در سازه‌های بنایی و تاریخی بار ثقلی باعث افزایش ظرفیت باربری جانبی می‌شود [۴]. این بار با توجه به هندسه قوس، بر واحد طول قوس و به صورت ثقلی اعمال شده است. در جدول (۳) نتایج تحلیل استاتیکی و مقادیر ماکزیمم تنشن‌های کششی و فشاری ایجاد شده در هر یک از قوس‌ها نشان داده شده است. فرم تغییر شکل‌های ماکزیمم نیز در جدول (۳) مشاهده می‌شوند که در قوس‌های تیزه‌دار، خیز ماکزیمم در محلی پایین‌تر از تیزه رخ می‌دهد و برای دیگر قوس‌ها بر روی محور تقارن قوس می‌باشد. تنشن‌های مجاز در جدول (۲) نشان داده شده است.

جدول ۳- نتایج تحلیل تحت وزن و سربار (نقلی) قوس

| موقعیت و مقدار تنش ماکزیمم (مگاپاسکال) | تفصیل | تغییر شکل قوس | حداکثر تغییر (mm) | نوع قوس |
|--|-------------------------------|---------------|-------------------|------------------|
| فشاری | کششی | | | |
| ۰/۶۴ | وجه خارجی انتهای گیردار | ۰/۲۶ | | ۰/۶۹ دایره‌ای |
| ۰/۵۳ | وجه داخلی وسط قوس | ۰/۱۹ | | ۰/۶۷ دسته زنبیلی |
| ۰/۵۴ | وجه داخلی وسط قوس | ۰/۰۹ | | ۰/۵۵ سهمی |
| ۰/۶۹ | وجه داخلی و انتهای گیردار قوس | ۰/۳۴ | | ۰/۶ چهار مرکزی |
| ۰/۴۷ | وجه خارجی و انتهای گیردار قوس | ۰/۰۷ | | ۰/۳۴ شاخ بزی |
| ۰ | وجه خارجی تیزه | ۵/۵ | | ۵/۴ سروک |

جدول ۴- نتایج تحلیل قوس‌ها تحت وزن و سربار (نقلی)

| سروک | شاخ بزی | چهار مرکزی | سهمی | دسته زنبیلی | دایره‌ای | نوع قوس |
|-------|---------|------------|-------|-------------|----------|---------------------------------|
| ۱۱/۹۰ | ۶/۹۰ | ۳/۷۰ | ۲/۰۶ | ۳/۵۰ | ۴ | خیز (متر) |
| ۹/۹۸ | ۱۳/۱ | ۱۸/۵ | ۴۴/۵ | ۲۲/۱ | ۱۸/۶ | نیروی رانش در پاطاق قوس Rx (KN) |
| ۷۲/۶ | ۵۵/۵ | ۴۷/۱ | ۴۲/۴۷ | ۴۶/۳ | ۴۷/۸ | نیروی قائم در پاطاق قوس W |
| ۰/۱۴ | ۰/۲۴ | ۰/۳۹ | ۱/۰۴ | ۰/۴۸ | ۰/۳۹ | F=Rx / W |

۴- تحلیل دینامیکی خطی

برای درک کلی رفتار دینامیکی قوس‌ها، ابتدا تحلیل خطی مورد استفاده قرار گرفت. خواص مکانیکی مصالح، همان خواص خطی مصالح بکار رفته در تحلیل استاتیکی است. در جدول (۶) ویژگی شتاب نگاشتهای استفاده شده در تحقیق نشان داده شده است. این شتاب نگاشتها مؤلفه افقی هستند. از میان شتاب نگاشت زلزله‌های قوی موجود، شتاب‌نگاشتهای مناسب شتاب نگاشت زلزله‌های تکان قوی جهان می‌باشد. با توجه به ایران انتخاب شد. عواملی که در انتخاب شتاب نگاشت‌ها لحاظ گردید شامل: انتخاب شتاب نگاشت زلزله‌های قوی کشور ایران، و شتاب نگاشت زلزله‌های تکان قوی جهان می‌باشد. با توجه به گستره زمان تناوب اصلی تمامی قوس‌ها بیشترین پاسخ از میان طیف پاسخ زلزله‌های ذکر شده به شتاب نگاشت زلزله کوبه اختصاص یافت. بنابراین فقط پاسخ مربوط به نتایج آن در این جا آورده شده است. در انتهای تحقیق، در جدول (۱۱)، به عنوان نمونه پاسخ قوس دایره‌ای، تحت بارگذاری شتاب نگاشت طبس (شتاب نگاشت غیر مؤثر)، نشان داده شده است که به دلیل کمبود فضای ارائه نتایج یک قوس به پاسخ یک شتاب نگاشت غیر مؤثر بسنده شده است.

۳- تحلیل ارتعاش آزاد

با استفاده از تحلیل مودال در جهت محورهای اصلی X و Z مودهای اصلی جداگانه بدست آمد که در جدول (۵)، شکل، پریویز مودها نشان داده شده است. مقدار ضریب میرایی ۰/۰۷ در نظر گرفته شده است. مقدار ضریب میرایی در سازه‌های بنایی غیر مسلح بیشتر از سازه‌های مدرن است. دلیل آن نیز وجود ترک‌های ریز فراوان در این گونه بناهاست [۵]. مبنای انتخاب مودهای اصلی، بالاترین ضریب مشارکت جرم مودی می‌باشد. و در مودهایی که این ضرایب به هم نزدیکند، تمامی مودهای با ضریب مشارکت جرم مودی بالا در نظر گرفته شده‌اند. از مقایسه زمان تناوب اصلی قوس‌های مختلف جدول (۵)، مشخص می‌شود که برای قوس‌های با نسبت ارتفاع به دهانه یکسان، این مقدار برای قوس‌های تیزه‌دار بیشتر از قوس‌های دایره‌ای و بیضوی است. همچنین زمان تناوب زیاد قوس سروک بیانگر سختی جانبی کم و جرم زیاد آن است. از میان قوس‌های مختلف بیشترین و کمترین زمان تناوب به ترتیب مربوط به قوس سروک و سهمی شکل است که بیانگر میزان سختی زیاد قوس سهمی است.

جدول ۵- نتایج تحلیل مودال و شکل مودهای غالب

| شکل مود غالب عمودی | شکل مود غالب افقی | T_{DIR} | نوع قوس |
|--------------------|-------------------|--|----------|
| | | $T_{x1}=0.083$ $T_{z4}=0.016$ | دایره‌ای |
| | | $T_{x1}=0.073$ $T_{z4}=0.015$ | |
| | | $T_{x1}=0.035$ $T_{x4}=0.011$ $T_{z2}=0.026$ | سه‌همی |
| | | $T_{x1}=0.089$ $T_{z4}=0.027$ | |
| | | $T_{x1}=0.147$ $T_{z6}=0.015$ | شاخ بزی |
| | | $T_{x1}=0.407$ | |
| | | | سروک |

آن کمتر از مقادیر مجاز آن می‌باشد که در جدول (۷) نشان داده شده است. در قوس سه‌همی ظرفیت باربری مقطع به طور بهینه استفاده می‌شود که قبلاً نیز به آن اشاره گردید. در مرحله تحلیل دینامیکی، به علت عملکرد ضعیف در تحلیلهای استاتیکی، قوس سروک کنار گذاشته شد. از بررسی نتایج بدست آمده از تحلیل قوس‌ها مشاهده می‌شود که تنش‌های بیشینه در محل تکیه‌گاه‌های گیردار ایجاد می‌شوند. این کار علی‌رغم این است که قوس‌ها دارای مقطع و اینرسی بزرگ‌تر می‌باشند. در جدول (۸) تاریخچه تغییرمکان، تنش کششی اصلی و تنش فشاری اصلی در محل‌های بحرانی نشان داده شده است. از جدول (۳) و (۸) مشاهده می‌شود که تغییر مکان ماکریزم قوس سه‌همی تحت بار ثقلی تقریباً ۸ برابر تغییر مکان آن تحت بار زلزله کوبه است که این مطلب بیانگر سختی بالای قوس در جهت محور افقی است.

۵- تحلیل دینامیکی غیرخطی (ماکرو مدل پخشی)
تحلیل دینامیکی تاریخچه زمانی روشی دقیق جهت تعیین لحظه به لحظه پاسخ سازه در برابر شتاب زلزله اعمالی به تکیه گاه‌های آن است مشروط بر اینکه رفتار تعریف شده شامل هر دو حوزه خطی و غیرخطی باشد.

جدول ۶- ویژگی شتاب نگاشتهای بکار رفته در تحقیق

| ارائه نتایج | PGA (g) | PGA (cm/s ²) | محل زلزله (زمان تداوم) |
|-------------|---------|--------------------------|------------------------|
| متن تحقیق | ۰/۸۳۴ | ۸۱۸ | کوبه (۳۰ ثانیه) |
| جدول (۱۱) | ۰/۸۳۲ | ۸۱۶ | طبس (۳۰ ثانیه) |
| منجیل (۱۱) | ۰/۵۱۴ | ۵۰۴ | (۳۰ ثانیه) |

همانطور که در جداول (۸) تا (۱۱) مشاهده می‌شود پاسخ‌های نظری تحت بارگذاری شتاب نگاشت کوبه برای نقاط نظری قوس پاسخ‌های بیشتری دارد. نتایج تنش‌های ماکریزم و موقعیت مکانی آنها در جدول (۷) ارائه شده‌اند. نسبت رانش پاطاق به عکس‌العمل قائم پاطاق پارامتر مهمی در تحلیل سازه قوس‌ها می‌باشد. با بررسی نتایج جدول (۴) و (۷) مشاهده می‌شود که با افزایش ارتفاع در قوس، مقدار نیروی افقی کم می‌شود و قوس در مقابل بارگذاری ثقلی پایدارتر و سنجین‌تر می‌شود. به جز قوس سروک که تاب بارگذاری ثقلی را نیاورده است، دیگر قوس‌ها دارای تنش‌های فشاری کششی افقی کمتر از مقادیر مجازند و در رابطه با تنش‌های کششی فقط در قوس سه‌همی، مقادیر تنش کمتر از مقادیر مجاز هستند. باربری جانبی قوس سه‌همی بسیار مناسب است و تنش‌های کششی و فشاری موجود

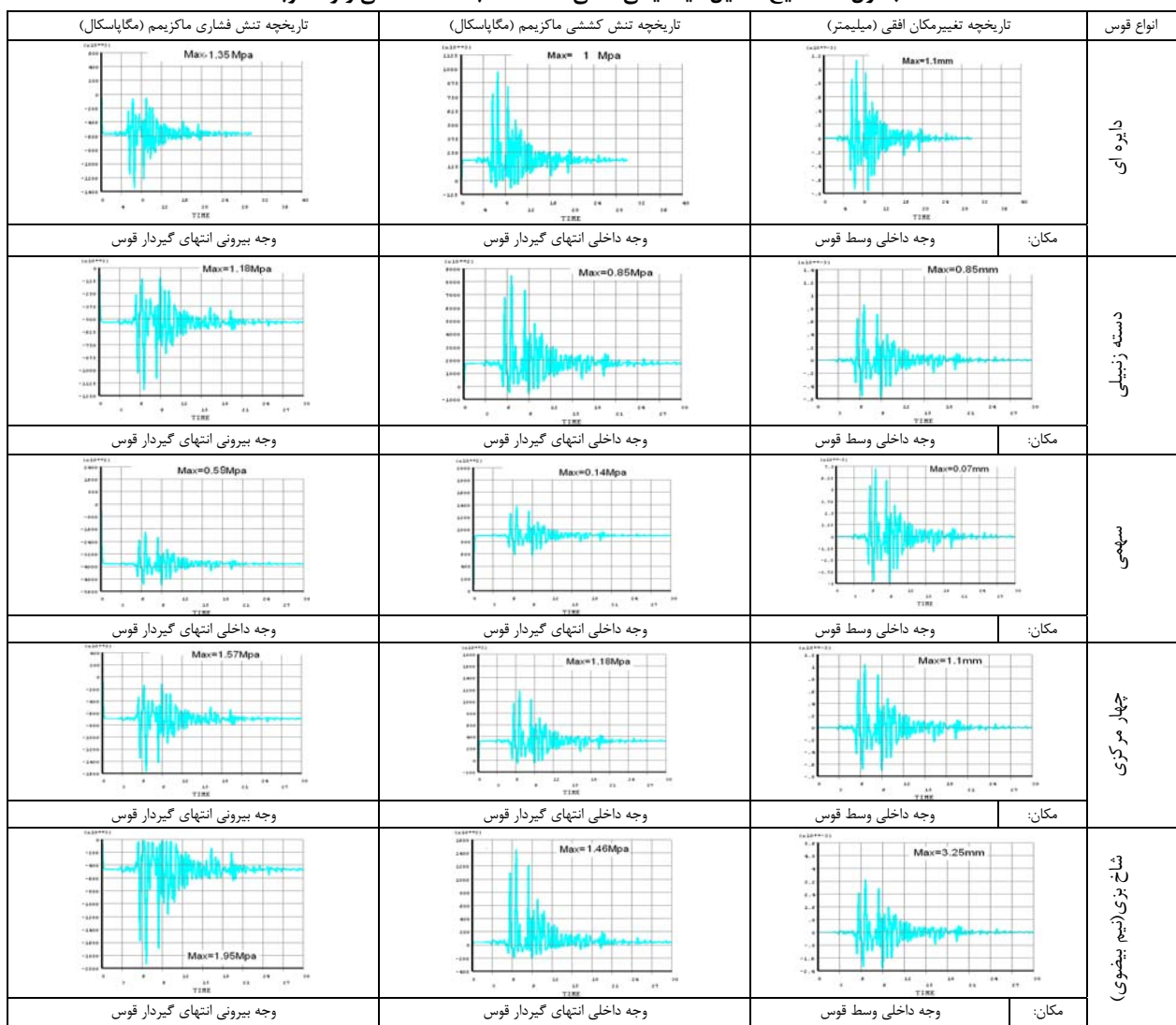
جدول ۷- تحلیل دینامیکی خطی تحت شتاب نگاشت افقی زلزله کوبه

| نوع قوس | Rx(KN) | W(KN) | Rx/W | مقدار و موقعیت تنش کششی ماکریتم (MPa) |
|-------------|--------|--------|------|--|
| دایره‌ای | ۲۰/۰۵ | ۴۸/۱۵۶ | ۰/۴۱ | وجه بیرونی و انتهای گیردار قوس ۱/۳۵ |
| دسته زنبیلی | ۲۲/۰۸ | ۴۶/۳ | ۰/۴۸ | وجه داخلی و انتهای گیردار قوس ۱/۱۸ |
| سه‌می | ۴۴/۵۱ | ۴۲/۴۷ | ۱/۰۵ | وجه داخلی انتهای گیردار ۶/۶۶ ثانیه ۰/۱۳۷ |
| چهار مرکزی | ۱۷/۸۶ | ۴۶/۵۴ | ۰/۳۸ | وجه داخلی و انتهای گیردار قوس ۱/۱۸ |
| شاخ بزی | ۱۳/۱ | ۵۵/۵ | ۰/۲۴ | وجه بیرونی و انتهای گیردار قوس ۱/۴۶ |
| | | | | وجه داخلی و انتهای گیردار قوس ۱/۹۵ |

المان سه بعدی Solid 65 مدل‌سازی شده‌اند. با توجه به قابلیت موجود در این المان، معیارهای شکست مصالح بنایی توسط دو پارامتر مقاومت کششی محوری f_t و مقاومت فشاری محوری f_c مدل‌سازی شده است. در تحلیل‌های موجود، قوس‌ها در حوزه غیرخطی نیز الاستیک در نظر گرفته شده‌اند. مدل ترک‌هایی که این المان در نظر می‌گیرد، مدل مورد استفاده در مشبندی قوس‌ها یعنی ماکرومودل پخش شده و معیار شکست (پکیدگی و ترک خوردنگی) مورد استفاده، معیار شکست پارامتری ویلیام وارنکه (William-Warnke) است.

در چنین تحلیلی پاسخ سازه تابعی از زمان است. اگر در تعریف مشخصات مصالح سازه معیارهای گسیختگی معرفی گردند و مقادیر موجود تنش یا کرنش آن، از مقادیر مجاز آن افروز گردد، گسیختگی اتفاق می‌افتد. در این وضعیت ماهیت پارامتر مستقل زمان از اهمیت بیشتری، نسبت به حالتی که نسبت تنش موجود به مجاز کوچک‌تر از یک باشد، برخوردار است. زمان خرایی قوس‌ها در تحلیل دینامیکی غیرخطی در جدول (۹) نشان داده شده است. دهانه تمامی قوس‌ها ۸ متر است. برای تحلیل غیرخطی دینامیکی، قوس‌ها با استفاده از

جدول ۸- نتایج تحلیل دینامیکی خطی تحت شتاب نگاشت افقی زلزله کوبه



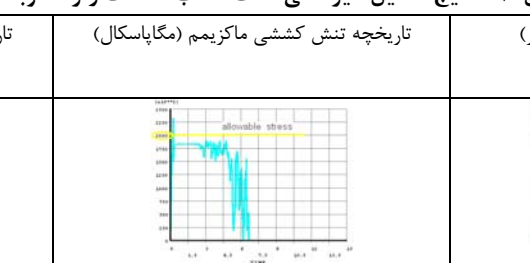
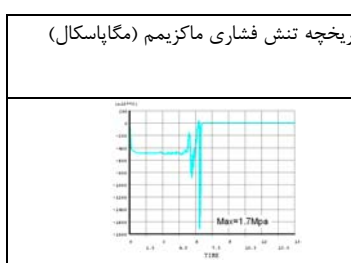
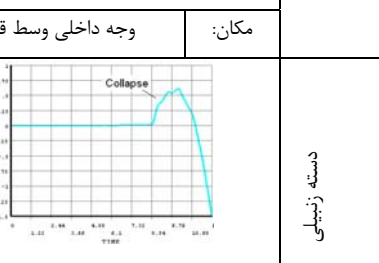
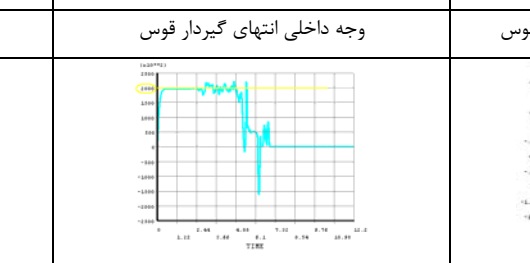
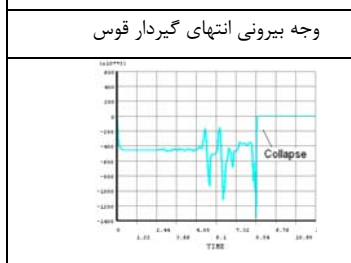
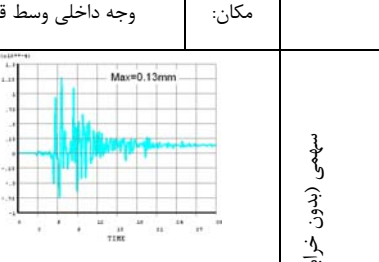
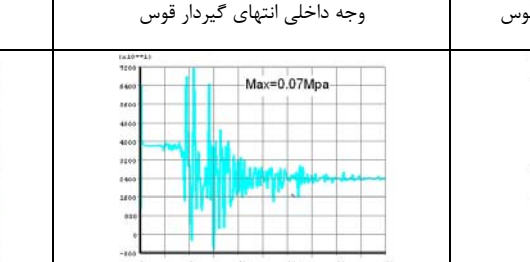
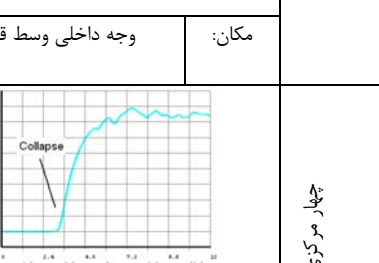
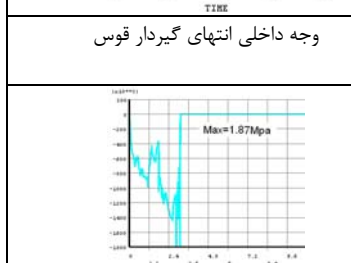
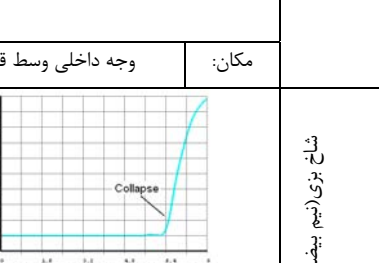
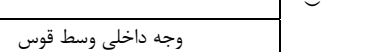
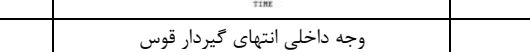
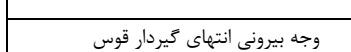
معیار دراگر پراگر (Drucker-Prager) نیز برای مدلسازی رفتار غیرخطی مصالح دانه‌ای نظیر خاک، و مصالح ترد و نیمه ترد نظیر صخره و بتن و ... پیش‌بینی شده است مورد استفاده قرار گرفته است. پارامترهای لازم در معیارهای ویلیام وارنکه و دراگر پراگر در مدل‌سازی رفتار غیرخطی مطابق جدول (۲) در نظر گرفته شده‌اند [۶].

جدول ۹- نتایج تحلیل دینامیکی غیرخطی تحت شتاب نگاشت

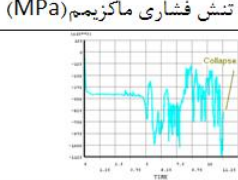
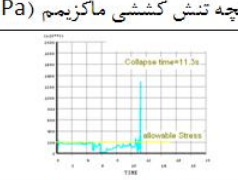
زلزله کوبه

| نوع قوس | دایره‌ای | دسته زنبلی | چهار مرکزی | شاخ بزی |
|------------------|----------|------------|------------|------------------------------|
| زمان خرابی قوس | ۵/۸ | ۸/۵ | ۶/۶۲ | ۶/۲۲ |
| موقعیت ترک اولیه | وسط قوس | ووجه داخلي | وجه داخلي | واجهه داخلي انتهای گیردار |

جدول ۱۰- نتایج تحلیل غیرخطی تحت شتاب نگاشت زلزله کوبه

| مکان: | وجه داخلي وسط قوس | وجه داخلي انتهای گیردار قوس | تاریخچه تغییر مکان افقی (متر) | تاریخچه تنش فشاری ماکریم (مگاپاسکال) | مکان: |
|-------|-------------------|------------------------------|---|--|---|
| مکان: | وجه داخلي وسط قوس | وجه بیرونی انتهای گیردار قوس |  |  |  |
| مکان: | وجه داخلي وسط قوس | وجه بیرونی انتهای گیردار قوس |  |  |  |
| مکان: | وجه داخلي وسط قوس | وجه داخلي انتهای گیردار قوس |  |  |  |
| مکان: | وجه داخلي وسط قوس | وجه داخلي انتهای گیردار قوس |  |  |  |
| مکان: | وجه داخلي وسط قوس | وجه بیرونی انتهای گیردار قوس |  |  |  |
| مکان: | وجه داخلي وسط قوس | وجه داخلي انتهای گیردار قوس |  |  |  |

جدول ۱۱- تعدادی از نتایج تحلیل دینامیکی غیرخطی تحت شتابنگاشت طبس

| نوع قوس | مکان: | وجه داخلی وسط قوس | وجه داخلی انتهای گیردار قوس | تاریخچه کششی ماکزیمم (MPa) | تاریخچه تنش کششی ماکزیمم (MPa) | (MPa) |
|----------|-------|-------------------|-----------------------------|---|---|--|
| دایره‌ای | | | |  |  |  |

افق ۴۶ درجه است). و ظرفیت باربری مقطع بطور بهینه استفاده می‌شود. پایداری استاتیکی قوس‌ها تحت بار ثقلی از زیاد به کم به این ترتیب است: قوس شاخ بزی، سهمی، دسته زنبیلی، دایره‌ای و چهار مرکزی. همچنین پایداری لرزه‌ای قوس‌ها از زیاد به کم چنین بدست آمده است: قوس سهمی، دسته زنبیلی، چهار مرکزی، شاخ بزی و دایره‌ای. موقعیت مکانی شروع ترک‌ها در قوس‌هایی که دچار آسیب ناشی از بارگذاری لرزه‌ای می‌شوند در وجه داخلی قوس است. برای قوس‌های دایره‌ای و دسته زنبیلی محل ترک در وجه داخلی کلید طاق و در چهار مرکزی و شاخ بزی در وجه داخلی انتهای گیردار می‌باشد.

۷- مراجع

- [۱] زمرشیدی، ح، "طاق و قوس در معماری ایران"، تهران مؤسسه کیهان، ۱۳۶۷
- [۲] Masonry Arches, Vaults and "Gilbert, M. , Engineering and Computational "Domes Mechanics, 2010, 163, 123-124.
- [۳] Kumarci, K., Khosravyan, P., Mahmoodic, I., Ziaied, A., Koohi, M., "Optimum Shape in Brick Masonry Arches under, Dynamic Loads by Cellular Automata", Journal of Civil Engineering (IEB), 2009, 37 (1), 73-90.
- [۴] Boothby, T. E., "Manual for Assessment of Load-Bearing URM Buildings", Pennsylvania State University, 2006.
- [۵] Hejazi., M. M., "Historical Buildings of Iran, the Architecture and Structure", Southampton, UK, 1997.
- [۶] Pouraminian, M., Sadeghi, A., "Assessment of Seismic Behavior of the Historical Structures (Case Study: Tabriz Citadel)", 1st ICSR, Tabriz, Iran, 20-22 October, 2008.

منحنی تنش-کرنش آن نیز به صورت الاستیک-پلاستیک کامل می‌باشد و از سخت شوندگی کرنشی صرف نظر شده است. از میان ۵ قوس که دارای بارگردانی مناسبی می‌باشند، قوس سهمی توانست بدون خرابی و ترک خوردگی بارگذاری لرزه‌ای زلزله کوبه، که بیشترین اثر را بر روی هر پنج قوس داشت، را تحمل نماید و ۴ قوس دیگر در زمان‌های مختلف دچار فروپاشی شدند که در جدول (۹) نشان داده است.

در کلیه قوس‌های ترک خوردگی، موقعیت مکانی شروع ترک‌ها در وجه داخلی قوس است که برای قوس‌های دایره‌ای و دسته زنبیلی در کلید طاق و در قوس‌های چهار مرکزی و شاخ بزی در انتهای گیردار می‌باشد. در جدول (۱۰) تاریخچه تغییرمکان، تنش کششی اصلی و تنش فشاری اصلی در محل‌های بحرانی نشان داده شده است. با توجه به زمان خرابی قوس‌ها در جدول (۹) می‌توان پایداری لرزه‌ای قوس‌ها را به ترتیب از زیاد به کم: قوس سهمی، دسته زنبیلی، چهار مرکزی، شاخ بزی و دایره‌ای نام برد. این نتایج، با مراجعه به رفتار قوس‌ها در زلزله‌های دیگر مثل طبس و منجیل نیز مشاهده می‌شود. در جدول (۱۱) نتایج تحلیل تحت شتاب نگاشت طبس نشان داده شده است.

۶- نتیجه‌گیری

برای دهانه و ضخامت یکسان در قوس‌های مختلف ایرانی مورد مطالعه در این تحقیق، قوس سهمی از نظر بارهای ثقلی و جانبی، بارگردانی مناسبتری دارد و قوس سروک فاقد مقاومت کافی تحت وزن خودش و سربار وارد می‌باشد. به طور کلی تحت بارهای ثقلی افزایش خیز قوس موجب کاهش نیروی رانش پاطاق و افزایش نیروی قائم پاطاق می‌شود. نیروی برآیند پاطاق قوس سهمی، تقریباً موازی خط مماس بر قوس در پاطاق که باعث می‌شود تنش‌های کششی و فشاری در این ناحیه بحرانی به صورت یکنواخت باشد (در تحقیق حاضر، زاویه پاطاق با محور

An Investigation on the Seismic Stability of Persian Brick Arches

M. Pouraminian¹, A. Sadeghi *² and S. Pourbakhshian¹

¹ Islamic Azad University - Ramsar Branch

² Civil Engineering Department, Azerbaijan Shahid Madani University

Abstract

The application of structural arch form in Iran goes back to as far as thousands of years ago. Arch is a fundamental component of Iranian architecture. Other structural systems such as vaults and domes which are used widely in variety of structures are indeed derived from arches. In the present study, the stability of various Iranian arches versus their weight, surcharge and earthquake action is investigated. The selected arches are some of the most applied Iranian arches like: parabolic-shaped arches, onion-shaped arches, four-centered pointed arches, obtuse angel arches and basket-handle arches. The selected arches are modeled in AutoCAD software and then are exported into the ANSYS software for necessary analyses. The static analysis, modal analysis and linear and non-linear dynamic analysis have been carried out on the finite element models of the arches. Comparison of the results of the analyses showed that for the same span and thickness in various Iranian arches analyzed in the present study, the parabolic-shaped arch has a better bearing with respect to gravity and lateral loads. The static stability of the arches under the gravity load increases with rise to span ratio of the arch. The other factor that affects the arch stability is its angle of contact to the baseline. According to the two above mentioned factors the stability of the selected arches increases in the following order: the semi-elliptical arch, the parabolic-shaped arch, basket-handle arch, circular arch and four-centered pointed arch. The eigen-value analyses have shown that the natural period of the arch is sensitive to the form of the crown. For the same span, the arches with tipped crown possess larger periods. In this regard, the fundamental period for parabolic arch is the least. This shows that this type of arch is stiffer than the other ones. For dynamic analysis of the selected arches, three strong ground motions of Kobe of Japan in 1995 ($M_L=7.2$), Tabas of Iran in 1978 ($M_L=7.8$) and Manjil of Iran in 1990 ($M_w=7.4$) were selected. Again, the time history analysis of the arches shows that the strongest arch against the selected accelerograms is parabolic arch; and the order of relative seismic stability of the arches descending from high to low is as following: the parabolic-shaped arch, the basket handle arch, the four-centered pointed arch, the Semi-elliptical arch and the circular arch. Also, under the Kobe earthquake accelerogram, the parabolic arch showed no collapse. However, the other arches encountered collapse and among the circular arch collapsed at 5.8 seconds as the first arch and the basket handle arch collapsed at 8.5 as the last one. As another result, the location of cracks in the arches damaged by seismic loading was in the internal face of the arch.

Keywords: Seismic stability, Persian arches, FE modeling, Seismic vulnerability, Non-linear analysis, ANSYS.

Received: December 2011

Accepted: May 2012